



# БИООРГАНИЧЕСКАЯ ХИМИЯ

том 5 \* № 12 \* 1979

УДК 547.953.672.7

## СИНТЕЗ ФЛУОРЕСЦЕНТНО-МЕЧЕНЫХ ЖИРНЫХ КИСЛОТ С АНТРОИЛЬНОЙ И АНТРИЛЬНОЙ ГРУППАМИ \*

*Каплун А. П., Башарули В. А., Щукина Л. Г., Швец В. И.*

*Московский институт тонкой химической технологии им. М. В. Ломоносова*

Осуществлен синтез двух рядов флуоресцентно-меченых жирных кислот с антробильной и антрильной группами в конце цепи. Первые – 3-(2-антроил)пропановая, 6-(2-антроил)гексановая и 11-(2-антроил)ундекановая кислоты – получены ацилированием ангидридов соответствующих дикарбоновых и ортоокремневой кислот в нитробензоле. Восстановление указанных кетокислот по Кийкеру-Вольфу привело к 4-(2-антрил)бутаповой, 7-(2-антрил)гептановой и 12-(2-антрил)додекановой кислотам соответственно.

Флуоресцентная спектроскопия в последнее время получила широкое распространение в качестве метода изучения как отдельных молекул (например, белков), так и надмолекулярных структур (например, биомембранны) [2]. Объектами исследования данного метода являются системы, содержащие флуоресцирующие группы. Наиболее достоверные результаты получаются для природных флуоресцентов (белков, содержащих триптофан, порфириновых систем и т. п.).

Нефлуоресцирующие системы, такие, как модельные мембранны, изучаются с помощью флуоресцентных зондов, хотя зонды и вносят некоторые возмущения в изучаемый объект. Но так как концентрация зондов незначительна, из-за высокой чувствительности флуоресцентной спектроскопии этот метод дает приемлемые результаты, что следует из корреляции данных, полученных разными способами [3].

Для исследования мембран используются зоны двух типов: модифицированные компоненты мембран [3, 4] и вещества, инородные для биомембранны (3-метоксибензантрон, 1,8-диметиламинонафтилсульфонат, диметиламинохалкон и т. п. [2]). Топография последних в мембране определяется сродством их к отдельным участкам мембран и устанавливается косвенными [5] и прямыми методами [6]. Положение флуоресцентных меток модифицированных мембранных компонентов обусловлено естественным положением веществ в мембране и локализацией флуоресцентных меток в липиде, которая задается направленным синтезом [3]. Применение зондов липидного характера для мембранных исследований является предпочтительным из-за их большего сходства с компонентами мембран по сравнению с зондами, подобными 1,8-диметиламинонафтилсульфонату.

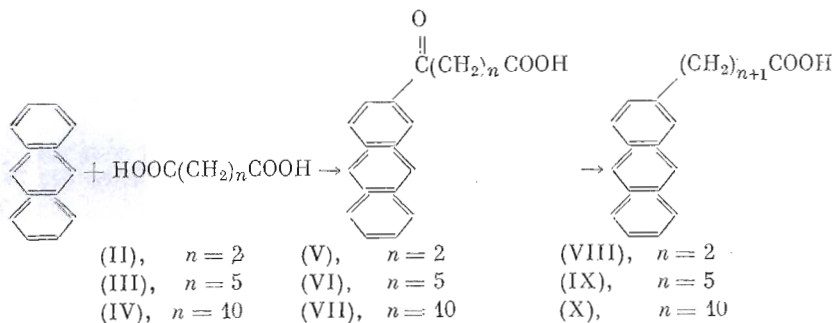
Простейшими липидными флуоресцирующими соединениями являются жирные кислоты с флуоресцентной группой. Они особенно удобны в том случае, когда есть набор таких кислот с флуоресцирующей группой в раз-

\* Краткое сообщение см. [1].

личных положениях цепи. Примером подобных соединений могут служить зонды, полученные ацилированием 12-оксистеариновой, 16- и 2-оксипальмитиновых кислот 9-ацтрилкарбоновой кислотой [3], а также ненасыщенные жирные кислоты с антрацильной группой в конце цепи, полученные в несколько стадий из 9-формилантрацена и ряда мопо- и диновых кислот [4]. Синтез перечисленных зондов отличается многостадийностью и использованием дефицитного сырья.

Настоящая работа посвящена разработке простейшего метода синтеза флуоресцентно-меченых жирных кислот с флуоресцентной группой в конце цепи. В качестве флуоресцирующей метки был выбран антрацен как наименьшая гидрофобная молекула, чья флуоресценция не накладывается на флуоресценцию белков. Для упрощения синтеза в отличие от описанных ранее методов [3, 4] использовался незамещенный антрацен.

Предлагаемый в статье метод позволяет получать из антрацена (I) и дикарбоновых кислот (II — IV) флуоресцентно-меченные жирные кислоты (V — VII), которые в один прием переводятся в флуоресцентно-меченные жирные кислоты (VIII — X) с другими флуоресцентными характеристиками. Таким образом, из антрацена и дикарбоновых кислот (II — IV) в две последовательные стадии получают два ряда флуоресцентно-меченных жирных кислот (V — VII и VIII — X).



Синтез кетокислот (V—VIII) осуществляли ацилированием алтрацена (I) в нитробензоле при 18—20°С активированными производными дикарбоновых кислот (II — IV) — ацилсилоксанами, которые получали *in situ* непосредственно перед ацилированием [7]. Индивидуальные кислоты (V — VII) выделяли хроматографией на силикагеле (табл. 1).

Выбор дикарбоновых кислот обусловливался необходимостью получить набор флуоресцентных жирных кислот с флуоресцирующей группой, отстоящей на минимальное, среднее и максимальное расстояния от карбоксильной группы, что диктовалось потребностями мембранных исследований.

Поскольку заранее нельзя было с уверенностью сказать, в какое положение антрацена происходит ацилирование в данных условиях, одной из дикарбоновых кислот была выбрана янтарная (II), так как известны некоторые антоильтрапропановые кислоты [8]. По предложенному нами методу была получена 3-(2-ацтрил)пропановая кислота (V), что подтверждается совпадением физико-химических характеристик кислот, синтезированных нами и в работе [8]. Известны также некоторые корреляции между положением ацильного остатка в антрацене и свойствами ацилантраценов [9, 10]. Наиболее показательны в этом отношении спектры флуоресценции. Так, 9-ацилантрацены совершенно не флуоресцируют, а разница в положении максимума флуоресценции 1- и 2-ацилантраценов составляет 20 нм [10]. В УФ-спектрах колебательная структура наименее выражена у 1-ацилантраценов [11]. Вид спектров ПМР в области сигналов ароматических протонов также зависит от положения заместителя в антраценовом ядре и может служить для идентификации ацилантраценов [12].

Таблица 1  
Физико-химические характеристики кислот (V–X)

Соединение	Выход, %	Т. п.l., °C (растворитель)	Найдено, %		Формула	Вычислено, %		$R_f$	Литературные данные [8], Т. п.l., °C
			С	Н		С	Н		
(V)	41	220–221 (этил-апетат)	78,31	5,13	$C_{18}H_{14}O_3$	78,68	5,07	0,16	220–221
(VI)	58	157–158 ( $CHCl_3$ )	78,69	6,41	$C_{21}H_{20}O_3$	78,73	6,29	0,21	—
(VII)	47	150–152 ( $CHCl_3$ )	80,44	7,74	$C_{26}H_{30}O_3$	79,97	7,74	0,36	—
(VIII)	73	194–196 ( $CHCl_3$ )	82,02	6,07	$C_{18}H_{16}O_2$	81,79	6,10	0,36	194–196
(IX)	74	162–164 ( $CHCl_3$ )	81,67	7,25	$C_{21}H_{22}O_2$	82,32	7,24	0,42	—
(X)	74	152–154 ( $CHCl_3$ )	82,81	8,51	$C_{26}H_{32}O_2$	82,93	8,57	0,48	—

Таблица 2  
Спектральные характеристики кислот (V–X)

Соединение	УФ-спектр, $\lambda_{\text{макс}}$ , нм ( $\epsilon$ )	Спектр флуоресценции, $\lambda_{\text{макс}}$ , нм		Масс-спектр, $m/e$ (относительная интенсивность, %)	ИК-спектр, $\nu$ , см <sup>-1</sup>
		$CHCl_3$	$C_6H_5OH$		
(V)	265(33000), 328(2100), 345(2500), 362(2500), 386(2300), 404(2300)	447	476	278, $M^+$ (100), 220(12), 205(62), 177(21), 60(40)	3080, 2600–2800, 1705, 1690, 750, 690
(VI)	265(32000), 328(2000), 345(2400), 362(2400), 386(2300), 404(2200)	447	476	320, $M^+$ (100), 220(69), 205(71), 177(40), 60(25)	3080, 2600–2800, 1705, 1690, 750, 690
(VII)	265(32000), 328(2000), 345(2300), 362(2300), 386(2200), 404(2200)	447	476	390, $M^+$ (100), 220(64), 205(69), 177(36), 60(31)	3050, 2600–2800, 1700, 1690, 750, 690
(VIII)	250(89000), 327(2900), 342(3400), 358(4600), 378(3900)	412	407	264, $M^+$ (100), 191(84), 95,5(5), 60(4)	3060, 2600–2800, 1710, 750, 685
(IX)	250(88000), 327(2600), 342(3100), 358(4100), 378(3600)	412	407	306, $M^+$ (100), 191(80), 95,5(4), 60(8)	3060, 2600–2800, 1715, 755, 690
(X)	250(87000), 327(2400), 342(3000), 358(3900), 378(3400)	412	407	376, $M^+$ (100), 191(83), 95,5(5), 60(5)	3060, 2600–2800, 1710, 755, 690

Все синтезированные антроилкарбоновые кислоты (V–VII) имели максимум флуоресценции, характерный для 2-ацилантраценов [10], УФ-спектры отличались хорошо выраженной колебательной структурой, что, как указывалось, типично для 2-ацилантраценов [11]. Спектры ПМР в районе 87–9 м.д. практически идентичны со спектром 2-ацетилантрацена и резко отличаются от спектров ПМР 1-ацетилантрацена (1- и 2-ацетилантрацены были получены по известной методике [9]). Таким образом, синтезированные кислоты (V–VII) идентифицировались как 3-(2-антоиil)пропановая (V), 6-(2-антоиil)гексановая (VII) и 11-(2-антоиil)ундекановая (VIII) кислоты.

Известно, что флуоресцентные свойства простейших 2-ацилантраценов зависят от полярности растворителя [13], что оказалось присущее и синтезированным 2-антоиilкарбоновым кислотам (V–VII). Разница в положении максимума флуоресценции для этих соединений в хлороформе и спирте составляла 29 нм (табл. 2). Это обстоятельство может оказаться очень полезным при использовании указанных кислот (V–VII) в качестве флуоресцентных зондов при исследовании таких свойств мембранных, как

полярность отдельных областей мембран [2]. С другой стороны, использование кислот (V—VII) для исследования биологических объектов с помощью метода измерения миграции энергии с триптофана белков на данные зонды [2] не удобно, так как полосы поглощения триптофана (280 нм) и кислот (V—VII) значительно перекрываются.

Этот факт побудил нас синтезировать второй ряд флуоресцентно-меченные жирные кислоты (VIII—X) с восстановленной кетогруппой, так как 2-алкилантрацены не поглощают в указанной области [14]. Кетогруппы кислот (V—VII) восстанавливались до метиленовых по Кижнеру — Вольфу. Реакция проводилась в диэтиленгликоле в присутствии избытка гидразин-гидрата и гидроксида калия [15]. Хроматографически однородные кислоты (VIII—X) были выделены кристаллизацией (табл. 1). В результате восстановления 3-(2-антроил)пропановой кислоты (V) было получено вещество, идентичное 4-(2-антрил)бутановой кислоте (VIII) [8]. Спектральные свойства кислот (VIII—X) (УФ-спектры, спектры флуоресценции, спектр ПМР в районе 67—9 м.д.) оказались практически идентичными, что позволило идентифицировать соединения (IX, X) как 7-(2-антрил)гептапновую и 12-(2-антрил)додекановую кислоты соответственно.

Положение максимума флуоресценции соединений (VIII—X) практически не зависит от полярности растворителя (табл. 2) в отличие от кетокислот (V—VII). В области ~280 нм антрилкарбоновые кислоты (VIII—X) не поглощают, а в области флуоресценции триптофана (365 нм) имеют полосу поглощения ( $\epsilon \approx 4000$ ), что делает указанные кислоты пригодными для исследования мембран методом измерения миграции энергии с триптофана белков на зонды [2].

Строение соединений (V—X) подтверждалось также и другими спектральными данными. Так, в ИК-спектрах данных производных наблюдались полосы, соответствующие колебаниям ароматических C—H-связей (3080  $\text{cm}^{-1}$ ), карбонильных групп: для соединений (V—VIII) 1705  $\text{cm}^{-1}$  (COOH) и 1690  $\text{cm}^{-1}$  (ArCO), для соединений (VIII—X) 1710  $\text{cm}^{-1}$ ; OH-группы в COOH 2900—2500  $\text{cm}^{-1}$ . В спектрах ПМР соединений (V—VII) наблюдался сложный мультиплет сигналов ароматических протонов с 67—9 м.д. (9 протонов) и группа сигналов алифатических протонов с 80,9—2,8 м.д. (2n протонов); в спектрах ПМР восстановленных кислот (VIII—X) — группа сигналов с 67—9 м.д. и группа сигналов с 80,9—2,8 м.д. (2n+2 протона).

В масс-спектрах всех кислот (V—X) присутствовали пики с  $m/e$  60, характерные для алифатических кислот [16], и пики молекулярных ионов (табл. 2). В отличие от алифатических кислот в масс-спектрах соединений (V—X) наиболее интенсивными были пики молекулярных ионов, что является типичным для жирноароматических соединений [16].

Для кетокислот (V—VII) наблюдалась фрагментация, характерная для ароматических кетонов:  $\alpha$ -расщепление —  $m/e$  205 ( $\text{C}_{14}\text{H}_9\text{CO}$ ),  $m/e$  177 ( $\text{C}_{14}\text{H}_9$ );  $\beta$ -расщепление с перегруппировкой Мак-Лафферти —  $m/e$  220 [ $\text{C}_{14}\text{H}_9(\text{OH})\text{CH}_2$ ] [16]. Для спектров восстановленных кислот (VIII—X) наиболее характерен пик с  $m/e$  191 ( $\text{C}_{14}\text{H}_9\text{CH}_2^+$ ), типичный для алкилароматических соединений [16]. Также наблюдался ряд двухзарядных ионов, наиболее интенсивным из которых был пик с  $m/e$  95,5 ( $\text{C}_{14}\text{H}_9\text{CH}_2^{2+}$ ), что подтверждает ароматическую природу данного фрагмента.

### Экспериментальная часть

ИК-спектры снимали на спектрофотометре Perkin-Elmer 257 в вазелиновом масле, спектры ПМР — на импульсном фурье-спектрометре Bruker WP-60 (60 МГц) в дейтероацетоне относительно ТМС, УФ-спектры — на спектрофотометре Hitachi EPS-3T в спирте (концентрация  $2 \cdot 10^{-5}$  и  $2 \cdot 10^{-4}$  М), спектры флуоресценции на спектрофлуориметре Hitachi 204 в спирте и хлороформе (концентрация  $10^{-5}$  М),  $\lambda_{\text{возб}}$  404 нм для соединений

(V—VII) и 378 нм для соединений (VIII—X). Масс-спектры снимали на приборе LKB 2091 (энергия электронного пучка 30 эВ, температура ионизирующей камеры 90—100° С). Колоночная хроматография осуществлялась на силикагеле L 100/160, TCX — на силифоле UV-254 в системе эфир — петролейный эфир (3:1).

*ω-(2-Ангроил)карбоновые кислоты (V—VII).* 100 ммоль дикарбоновой кислоты (II, III или IV) растворяли в 400 мл нитробензола, добавляли 75 ммоль четыреххлористого кремния и нагревали при перемешивании при 60—70° С в течение 2 ч, а затем при 80—90° С еще 8 ч. Добавляли 90 ммоль антрацена (I), охлаждали до 0° С и порциями присыпали 120 ммоль хлористого алюминия в течение 20 мин. После 1,5 ч перемешивания при 20° С реакционную массу разбавляли 100 мл ледяной воды и приливали 50 мл 6 н. соляной кислоты. Выпавший желтый осадок отфильтровывали, высушивали и промывали 200 мл бензола. Остаток экстрагировали 500 мл ацетона, экстракты упаривали и хроматографировали на колонке. Элюировали хлороформом.

*ω-(2-Антил)карбоновые кислоты (VIII—X).* 10 ммоль кислоты (V, VI или VII) растворяли в 200 мл диэтилентриамина, добавляли 25 ммоль гидразин-гидрата и 50 ммоль гидроокиси калия, кипятили 2 ч. Затем отгоняли воду и избыток гидразин-гидрата, повышая температуру отгонов до 195° С, после чего кипятили реакционную смесь еще 3 ч. Охлажденную реакционную смесь разбавляли 450 мл воды и выливали в 100 мл 6 н. соляной кислоты. В случае кислот (IX, X) выпадал осадок, который отфильтровывали и перекристаллизовывали из хлороформа. В случае кислоты (VIII) после подкисления реакционную массу экстрагировали 250 мл хлороформа, упаривали и кристаллизовали из этилацетата.

Выходы, константы, физико-химические характеристики синтезированных соединений приведены в табл. 1 и 2.

#### ЛИТЕРАТУРА

1. Каплун А. П., Башарули В. А., Швец В. И. (1978) Биоорган. химия, 4, 1567—1568.
2. Добрецов Г. Е., Владимиров Ю. А. (1975) Итоги науки и техники. Биофизика, т. 5, с. 86—132, ВИНИТИ, М.
3. Cadenehead D. A., Kellner B. M., Jacobson K., Papahadiopoulos D. (1977) Biochemistry, 16, 5386—5392.
4. Stoffel W., Michaelis G. (1976) Hoppe-Seyler's Z. Physiol. Chem., 357, 7—20.
5. Radda G. K. (1971) Biochemistry, 122, 385—391.
6. Lesslauer W., Cain J. E., Blasie J. K. (1972) Proc. Nat. Acad. Sci. USA, 69, 1499—1508.
7. Юрьев Ю. К., Еляков Г. Б., Белякова З. В. (1954) Ж. общ. химии, 24, 1568—1571.
8. Cook J. W., Robinson A. M. (1938) J. Chem. Soc., 505—513.
9. Gore P. H. (1957) J. Org. Chem., 22, 135—138.
10. Красовицкий Б. М., Болотин Б. М. (1976) Органические люминофоры, с. 30—31, «Химия», М.
11. Jones R. N. (1945) J. Amer. Chem. Soc., 67, 2127—2152.
12. Jonathan N., Gordo S., Daily B. P. (1962) J. Chem. Phys., 36, 2443—2454.
13. Черкасов А. С. (1962) Оптика и спектроскопия, 12 (1), 73—80.
14. Friedel R. A., Orchin M. (1951) Ultraviolet spectra of aromatic compounds, Acad. Press, N. Y.—London.
15. Huang-Minlon (1946) J. Amer. Chem. Soc., 68, 2487—2488.
16. Сильверстейн Р., Басслер Г., Моррил Т. (1977) в кн.: Спектроскопическая идентификация органических соединений, с. 21—120, «Мир», М.

Поступила в редакцию  
15.V.1979

#### SYNTHESIS OF FLUORESCENCE LABELED FATTY ACIDS WITH ANTHROYLIC AND ANTHRYLIC GROUPS

KAPLUN A. P., BASHARULI V. A., SHCHUKINA L. G., SHVETS V. I.  
*M. V. Lomonosov Institute of Fine Chemical Technology, Moscow*

The synthesis of two series of the fluorescence labeled fatty acids bearing the anthroylic or anthrylic groups at the end of the chain has been performed. The first series includes 3-(2-anthroyl)propanoic, 6-(2-anthroyl)hexanoic and 11-(2-anthroyl)undecanoic acids which have been obtained by anthracene acylation with mixed decarboxylic and ortho-silicic acid anhydrides in nitrobenzene. 4-(2-Anthryl)butanoic, 7-(2-anthryl)-heptanoic and 12-(2-anthryl)dodecanoic acids have been prepared by reduction of the above ketoacids, respectively.